

تأثير ضغط الهواء داخل الإطارات الخلفية في أداء جرار ذو دفع أمامي مساعد

د. سعد عبد الرحمن الحامد * م. عبد الواحد محمد بسيوني أبوكريمة **

د. محمد حسن أحمد قابيل ***

الملخص

تم في هذا البحث دراسة تأثير ضغط الهواء داخل الإطارات الخلفية في الأداء الحقلاني لجرار ذو دفع أمامي مساعد على تربة رملية طبيعية. هذا الجرار مزود بأجهزة قياس مختلفة لقياس العوامل المؤثرة في أداء الجرار مثل قوة الشد الأقصى على قضيب الشد، والوزن الدينامي على محور العجلات الخلفية، والسرعة الأمامية، وسرعة العجلات الخلفية والعزم على محور العجلات الخلفية. ويتم تخزين قيم المتغيرات المقيدة في مجمع بيانات كل ثانية أثناء التشغيل الحقلاني، ثم تنقل فيما بعد إلى حاسب آلي. وللتغيير نسبة انزلاق العجلات الخلفية أثناء إجراء التجارب تم استخدام جرار آخر كوحدة تحويل على قضيب الشد. واستخدم ثلاثة ضغوط للهواء داخل الإطارات الخلفية (١٦٠ و ٨٠ و ٤٠ كيلوبسكال). وتم دراسة الأداء الحقلاني للجرار عندما يعمل كثاني الدفع على تربة محرونة.

واستخدم الإنحدار غير الخطى لإيجاد معادلات نسبة الشد الدينامي وكفاءة الشد للحالات الثلاث من الضغوط، حيث تشير قيم متوسط مربع الانحرافات ومعامل الارتباط إلى التوافق بين البيانات الفعلية والبيانات المتحصل عليها من معادلات نسبة الشد الدينامي وكفاءة الشد عند ضغوط الهواء المختلفة داخل الإطارات الخلفية عند مدى انزلاق العجلات الخلفية من ٥ إلى ٢٨٪.

وأظهرت النتائج عامة أن الجرار يعطي أداء أفضل كلما قل ضغط الهواء داخل الإطارات الخلفية له، وذلك عند مدى انزلاق للعجلات الخلفية من ٥ إلى ٢٨٪. فعند نسبة انزلاق اعتيادية للعجلات الخلفية ٢٠٪ زادت كفاءة الشد من ٤٤٪ إلى ٥١٪ بانخفاض ضغط الهواء في الإطارات من ١٦٠ إلى ٨٠ كيلوبسكال، كما أن نسبة الشد الدينامي قد زادت من ٣٦٪ إلى ٥٦٪ عند نفس نسبة الانزلاق بانخفاض ضغط الهواء داخل الإطارات.

* أستاذ مساعد، قسم الهندسة الزراعية، كلية الزراعة، من.ب. ٢٤٦٠، الرياض ١١٤٥١، جامعة الملك سلمون، المملكة العربية السعودية.

** باحث مساعد، مركز البحوث الزراعية، معهد بحوث الهندسة الزراعية، محطة بحوث وختبارات الجرارات والألات الزراعية، الصمغية، الإسكندرية، ج.م.ع.

*** باحث، مركز البحوث الزراعية، معهد بحوث الهندسة الزراعية، محطة بحوث وختبارات الجرارات والألات الزراعية، الصمغية، الإسكندرية، ج.م.ع.

المقدمة

يتأثر الأداء الحقلـي للجرار الزراعـي بالعـديد من العـوامل مـثـل مقـاس الإـطـار وضـغـط الهـواء دـاخـل الإـطـارات، والوزـن الـواـقـع عـلـى العـجلـات، ونـوع سـطـح التـرـبة، وسـرـعة التـشـغـيل. وأـظـهـرـت فـتـحـاجـة الـأـبـحـاث أـنـ حـوـالـي ٢٠ إـلـى ٥٥ % مـن طـاقـة الجـرـار المـتـاحـة تـفـقـدـ أـثـاءـ التـقـاعـل بـيـنـ الإـطـارات وـمـسـطـح التـرـبة، وـلـاـ تـعـتـبرـ هـذـهـ الطـاقـةـ مـقـودـةـ فـقـطـ، بلـ إـنـهـ تـؤـديـ إـلـىـ تـأـكـلـ الإـطـارات وـتـسـبـبـ كـبـسـ لـلـتـرـبةـ مـعـاـ يـنـتـجـ عـنـهـ انـخـفـاضـ فـيـ اـنـتـاجـةـ الـمـاـصـبـلـ (Burl et al., 1982). وـيـنـتـرـبـ عـلـىـ اـخـتـيـارـ ضـغـطـ الهـاءـ الـمـنـاسـبـ دـاخـلـ الإـطـاراتـ أـدـاءـ جـرـارـ فـاعـلـاـ لـلـجـرـارـ مـتـنـثـلاـ فـيـ موـازـنـةـ بـيـنـ كـلـ مـنـ قـوـةـ الشـدـ وـكـفـاءـةـ الشـدـ وـاستـهـلاـكـ الـوـقـودـ، بـالـإـضـافـةـ إـلـىـ تـأـثـيرـ ذـلـكـ فـيـ مـقـارـنـةـ كـبـسـ لـلـتـرـبةـ، وـالـمـاـصـبـلـ عـلـىـ الإـطـاراتـ مـنـ التـأـكـلـ.

تناولـتـ الـعـدـيدـ مـنـ الـدـرـاسـاتـ وـالـأـبـحـاثـ السـابـقـةـ بـطـبـيقـاتـهاـ الـحـقـلـيـةـ درـاسـةـ تـأـثـيرـ ضـغـطـ الهـاءـ دـاخـلـ الإـطـاراتـ فـيـ أـدـاءـ جـرـارـ الزـرـاعـيـ عـلـىـ أـسـطـحـ مـخـلـفـةـ مـنـ التـرـبـ. كـمـ قـفـتـ بـعـضـ الـجـمـعـيـاتـ الـحـلـمـيـةـ مـثـلـ الـجـمـعـيـةـ الـأـمـرـيـكـيـةـ الـمـهـنـدـسـيـنـ الزـرـاعـيـنـ (ASAE, 2000)، وـجـمـعـيـةـ مـهـنـدـسـوـ السـيـارـاتـ (TSAE) (1991)، وـجـمـعـيـةـ الإـطـارـ وـالـإـطـارـ الـمـعـدـنـيـ (The Tire and Rim Association, 1988) مواصفـاتـ عـنـ ضـغـطـ الهـاءـ دـاخـلـ الإـطـاراتـ وـالـأـحـمـالـ الـقـصـوـيـ الـمـسـمـوـ بـهـاـ تـحـتـ الضـغـطـ الـمـخـلـفـةـ.

ناقـشـ الـبـاحـثـانـ (Burt and Bailey, 1981) التـقـاعـلـ بـيـنـ الـحـلـمـ الـدـينـامـيـ وـضـغـطـ الهـاءـ دـاخـلـ الإـطـاراتـ وـتـأـثـيرـهـاـ عـلـىـ أـدـاءـ جـرـارـ، حيثـ أـجـرـيـتـ الـدـرـاسـةـ عـلـىـ إـطـاراتـ ذاتـ طـبـقـاتـ نـصـفـ قـطـرـيـةـ (radial) وـمـقـاسـ الإـطـارـ ٣٨-٢٠,٨. وـأـفـادـ أـنـهـ لـأـيـ حـالـةـ مـنـ حـالـاتـ سـطـحـ التـرـبةـ وـلـأـيـ اـنـزـلـاقـ، فـلـانـ الشـدـ الصـافـيـ وـكـفـاءـةـ الشـدـ تـعـيـلـانـ إـلـىـ التـقـافـصـ كـلـماـ اـرـدـادـ ضـغـطـ الهـاءـ دـاخـلـ الإـطـاراتـ. وـكـانـتـ الفـروـقـاتـ فـيـ كـفـاءـةـ الشـدـ عـنـ تـغـيـيرـ ضـغـطـ الهـاءـ فـيـ الإـطـاراتـ أـكـثـرـ وـضـوـحـاـ عـنـ التـشـغـيلـ عـلـىـ التـرـبةـ الـمـتـمـاسـكـةـ مـنـهـاـ لـلـتـرـبةـ النـاعـمـةـ. وـوـجـدـاـ كـذـكـ أـنـ الفـروـقـاتـ النـسـبـيـةـ فـيـ الشـدـ الصـافـيـ غـيرـ ثـابـتـةـ عـنـ أـخـذـ جـمـيعـ التـرـبـ وـحـالـاتـ التـجـربـةـ فـيـ الـإـعـتـارـ. وـفـقـدـ (Charles, 1983) بـدـرـاسـةـ تـأـثـيرـ الـأـوزـانـ الـإـضـافـيـةـ وـضـغـطـ الهـاءـ دـاخـلـ الإـطـاراتـ فـيـ أـدـاءـ الشـدـ، حيثـ اـسـتـخـدـمـ إـطـاراتـ ذاتـ طـبـقـاتـ نـصـفـ قـطـرـيـةـ وـمـقـاسـ ٣٨-١٨,٤ـ عـلـىـ سـطـحـ تـرـبةـ بـهـاـ أـعـشـابـ وـسـطـحـ تـرـبةـ مـحـرـوـثـ. وـتـمـ تـغـيـيرـ ضـغـطـ الهـاءـ دـاخـلـ الإـطـاراتـ مـنـ ٨٣ـ إـلـىـ ١٩٣ـ كـيـلوـبـسـكـالـ بـزـيـادـةـ مـقـارـنـاـ ٢٧,٦ـ كـيـلوـبـسـكـالـ معـ إـيقـاءـ الـوـزـنـ الـإـسـتـانـيـ عـلـىـ مـحـالـوـرـ جـرـارـ ثـابـتـاـ بـحـوـالـيـ ٢٦,٦ـ كـيـلوـنيـوتـنـ لـكـلـ إـطـارـ. وـذـكـرـ أـنـ كـفـاءـةـ الشـدـ تـزـدـادـ مـنـ ٧٧,٥ـ إـلـىـ ٨٢ـ %ـ بـانـخـفـاضـ ضـغـطـ الهـاءـ دـاخـلـ الإـطـاراتـ، وـذـكـرـ عـلـىـ سـطـحـ المـفـلـوـطـ بـالـأـعـشـابـ وـعـنـدـ قـسـبةـ اـنـزـلـاقـ ثـابـتـةـ ١٠ـ %. بـيـنـماـ عـلـىـ سـطـحـ التـرـبةـ الـمـحـرـوـثـ وـعـنـدـ نـسـبـةـ اـنـزـلـاقـ ثـابـتـةـ ١٢ـ %. فـلـانـ كـفـاءـةـ الشـدـ اـرـدـادـتـ مـنـ حـوـالـيـ ٦٨ـ %ـ إـلـىـ ٧٥ـ %ـ مـعـ اـنـخـفـاضـ ضـغـطـ الهـاءـ دـاخـلـ الإـطـاراتـ.

وـدـرـسـ (Lyne et al., 1984) تـأـثـيرـ مـحـدـدـاتـ الإـطـارـ وـمـحـرـكـ جـرـارـ عـلـىـ كـفـاءـةـ الشـدـ، حيثـ اـسـتـخـدـمـواـ إـطـاراتـ ذاتـ طـبـقـاتـ نـصـفـ قـطـرـيـةـ وـمـقـاسـهـاـ ٣٨-١٨,٤ـ عـلـىـ سـطـحـ تـرـبةـ مـحـرـوـثـةـ.

وأستخدموا أربع مستويات من الوزن الإستاتي تتراوح بين ١٦ و ٢٦ كيلونيتون، وأربع مستويات من ضغط الهواء داخل الإطارات تتراوح بين ٦٢ و ١٥٩ كيلوبسكال. ووجدوا أن كفاءة الشد تمثل إلى الزيادة كلما ازداد الحمل الاستاتي لأي ضغط، ولكن هذا التأثير لم يكن ثابتاً، حيث أن كفاءة الشد تمثل إلى التناقص كلما ازداد ضغط الهواء داخل الإطارات، ولكن بشكل متغير في بعض الحالات. وقارن (Grisso et al. 1991) أداء الشد لإطارات ذات طبقات نصف قطرية ومقاساتها ٤٦-٤٨,٤ و ٤٨,٤ على ثلاثة سطح تربة وعند نفس ضغط الهواء في الإطارات. وكانت سطح التربة الثلاثة متماسكة (تربة سلسلية طمية) وهي سطح يحتوي على بقايا محصول النرة وسطح يحتوي على بقايا فول الصويا وسطح تم تمثيله. واستخلصوا أنه لا يوجد أفضلية بشكل واضح لأي من مقاسات الإطارات، ولكن عند استخدام الإطار ذو المقاس ٤٨,٤ على السطح الذي تم تمثيله بأمشاط قرصية فإن كفاءة الشد كانت أعلى من الإطار الآخر.

وقام (Bashford et al. 1992) بمقارنة كل من نسبة الشد الدينامي وكفاءة الشد لثلاثة مقاسات مختلفة للإطارات الخلفية لجرار ذو دفع أمامي مساعد عند تشغيله بنظام ثانوي الدفع على سطحين مختلفين للتربة، متماسكة ومتفرقة، حيث تمثل التربة المتماسكة تربة بها بقايا محصول القمح، وتعبر تربة متفرقة عن تربة محرونة، واستنتجوا أن ضغط الهواء المنخفض داخل الإطارات يزيد أداء الشد بصورة عامة. وبالنسبة لمقاس الإطار فإن المقاس الأكبر للإطار يعطي أفضلية مقارنة بالمقاس الأصغر على التربة المتماسكة عند أي ضغط هواء داخل الإطارات. أما (Al-Janobi 1997) فقام بدراسة أداء الشد حقولاً لجرار ذو دفع أمامي مساعد على تربة رملية طمية، وذلك عند ضغط هواء داخل الإطارات ٢٦٠ و ١٦٠ كيلوبسكال للإطارات الأمامية والخلفية على الترتيب، حيث أن جميع الإطارات الأمامية والخلفية من النوع ذو الطبقات نصف قطرية ومقاساتها على الترتيب ٢٨-١٨,٤ و ٢٨-١٣,٦. وقارن بين أداء الجرار عند تشغيله بنظام ثانوي ورباعي الدفع، حيث استخدم قوة الشد وكفاءة الشد كمعايير تصف أداء الجرار، وأوضحت نتائجه أن الجرار ذو الدفع الأمامي المساعد في حالة تشغيله كرباعي الدفع يعطي أداء أفضل بالمقارنة عندما يعمل الجرار كثانية الدفع عند نفس نسب الانزلاق للعجلات الخلفية.

ونتيجية أهمية هذا البحث في دراسة تأثير ضغط الهواء في أداء الجرار الزراعي على تربة رملية طمية، حيث تمثل التربة الرملية الطمية غالبية الترب الزراعية في معظم مزارع المملكة العربية السعودية (وزارة الزراعة والبيئة، ١٤٠٥هـ)، وللحصول على بيانات فعلية قد تساعد المزارعين على اختيار ضغوط الهواء المناسبة لإطارات جراراتهم لزيادة فاعلية الجرار أثناء العمل الحقل، حيث لا توجد دراسات أو بحاث سابقة في هذا المجال على هذه النوعية من الترب الزراعية.

يهدف هذا البحث إلى دراسة تأثير ضغط الهواء داخل الإطارات الخلفية في أداء جرار ذو دفع أمامي مساعد عند تشغيله بنظام ثانوي الدفع على تربة رملية طمية، حيث تستخدم نسبة الشد الدينامي وكفاءة الشد كمعايير تصف أداء الجرار.

الم______واد وطرق البحث

أجريت التجارب في محطة الأبحاث والتجارب الزراعية بديراب والتابعة لكلية الزراعة بالرياض، جامعة الملك سعود. أرض التجربة كانت مزروعة بممحصول البطاطس وتم حراستها بمحراث حفار مرة واحدة باتجاه طولي للأرض. أرض التجربة تصنفها رملية طمية بنسب مكونات ٤٨٪ للرمل و ٥٪ للسلت و ٧٪ للطين. ومتوسط رطوبة التربة على أساس جاف أشداء التجارب يساوي ٪٧٣٤ ومتوسط كثافة التربة تساوي ١,٢٢ جم/سم^٣، أما قوة اختراق التربة ليس بينها اختلافات كبيرة داخل قطاعات التجربة، حيث كانت الاختلافات في حدود الفرق ٪٣٧ عن المتوسط وهو ٢٤٦,٥ كيلوبسكال، مع العلم بأن هذه القياسات عند عمق من ٠ إلى ١٠ سم.

الأجهزة والمعدات المستخدمة

تم استخدام جرار زراعي ذو دفع أمامي مساعد طراز MI:3090 ، حاليته العامة وحالة إطاراته جيدة وقدرة محركه ٧٥,١ كيلوواط عند سرعة دوران المحرك ٢١٩٦ لفة/د. الجرار مزود بأجهزة قياس مختلفة لقياس العوامل المؤثرة في أداء الجرار مثل السرعة الأمامية، وزن الدينامي الواقع على العجلات الخلفية، وسرعة دوران العجلات الخلفية، وقوة على قضيب الشد، والعزم على محور العجلات الخلفية. هذا الجرار يوجد في كابينة وحدة استقبال وتخزين بيانات (datalogger) تم تزويدها ببرنامجه حاسب آلي لاتخميص واستقبال وتخزين البيانات من أجهزة القياس بحيث يتم قراءة وتسجيل البيانات بعمل فرآءة لكل ثانية أثناء التشغيل الحقلـي. ولمعرفة التفاصيل عن أجهزة القياس والمعايير اللازمة لها يمكن الرجوع إلى (Al-Janobi et al. 1994) ، و (Al-Suhaimani and Al-Suhaimani 1997) ، والبلخي (١٤١٨ـ). ويوضح الجدول رقم (١) مواصفات الجرار المستخدم في التجارب. إطارات الجرار الخلفية تحتوي على ماء كوزن إضافي للجرار.

استخدمت ثلاثة ضغوط هواء داخل الإطارات الخلفية للجرار وهي ٨٠ و ١٢٠ و ١٦٠ كيلوبسكال. واستخدم نظام الدفع الثاني عند تشغيل الجرار في جميع حالات الضغوط. وتم تسجيل أكثر من ١٢٠ قراءة لكل متغير أثناء التشغيل الحقلـي.

جدول رقم (١): مواصفات الجرار المستخدم في تجارب الأداء الحقيقة.

الصنع	
الطراز	
الوزن الأستاتي على المحور الأمامي	٣٠٩٠ ك.نيوتن
الوزن الأستاتي على المحور الخلفي (بدون ماء في الإطارات)	٢٩,٤٥ ك.نيوتن
وزن الماء المضاف لكل إطار خلفي	٣,٦ ك.نيوتن
مقاس الإطارات الأمامية (النوع ذو الطبقات نصف القطرية)	٢٨-١٣,٦
مقاس الإطارات الخلفية (النوع ذو الطبقات نصف القطرية)	٣٨-١٨,٤
ضغط الهواء داخل الإطارات الأمامية	٢٦ كيلوبسكال
نصف قطر الدوران للعجلات الخلفية (ضغط ٨٠ كيلوبسكال)	٨١٠ مم
نصف قطر الدوران للعجلات الخلفية (ضغط ١٢٠ كيلوبسكال)	٨٢٣ مم
نصف قطر الدوران للعجلات الخلفية (ضغط ١٦٠ كيلوبسكال)	٨٣٠ مم

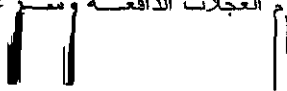
طريقة العمل

يجري الاختبار بتشغيل الجرار بسرعة ٦ كم/س على امتداد مشوار طوله ٦٠ متر تقريباً عند ضغط ١٦٠ كيلوبسكال، حيث أن بداية التجربة تكون بعد أن يقطع الجرار مسافة حوالي ٥ متر من المشوار للوصول إلى حالة الاستقرار. ثم يبدأ قائد الجرار المقظور بتحليق حمل بشكل تدريجي على قضيب الشد للجرار قيد الدراسة عن طريق الضغط على دواسة الفرامل، فتختفي السرعة الأمامية تدريجياً على طول المشوار. وبالتالي يمكن توفير مدى مناسب من انزلاق العجلات الخلفية للجرار. ويتبع قياس متغيرات الأداء مثل السرعة الأمامية، وسرعة العجلات الخلفية، والوزن الدينامي على العجلات الخلفية، والعزم على محور العجلات الدافعة. ثم يكرر الاختبار في المشاوير الأخرى عند الضغوط ١٢٠ و ٨٠ كيلوبسكال.

المعايير المستخدمة في التقويم

تعتبر المعايير النسبية أدوات جيدة في عمل المقارنات خصوصاً عندما تكون هذه المعايير تتخطى تأثيرات يصعب قياسها أو معرفتها بمفرداتها ولكنها تظهر على هيئة مؤشرات في أشياء أخرى يمكن قياسها إجمالاً، لذلك تمأخذ معيارين نسبيين لعمل المقارنة لأداء الجرار عند الضغوط المختلفة وهو نسبة الشد الدينامي (DTR) وكفاءة الشد (TE). نسبة الشد الدينامي تعبر عن نسبة قوة الشد الأقصى إلى الوزن الدينامي على عجلات الدفع. أما كفاءة الشد فهي تمثل نسبة الفرقة الناتجة إلى القدرة

الداخلة، وتعرف القدرة الداخلية أنها القدرة على المحور وتحسب من عزم العجلات الدافعة وسرعة



دورانها، بينما القدرة الناتجة تعرف بالقدرة على قضيب الشد، وتحسب من قوة الشد الأفقية والسرعة الأمامية.

تتغير نسبة الشد الدينامي وكفاءة الشد مع نسبة انزلاق العجلات الدافعة للجرار، حيث يشير الانزلاق إلى التقدم النسبي للجرار في اتجاه الحركة. وافتراخ (1974) Wismer and Luth دالة تربط كل من قوة الشد (P) والعزم الواقع على العجلات الدافعة (T) بنسبة الانزلاق (s) حسب الصيغة التالية:

$$P, T = f(1 - e^{-s}) \quad (1)$$

تحليل البيانات

تم استخدام طريقة Gauss-Newton للانحدار غير الخطى (SAS, 1986) لتفريق المعادلات لكى من نسبة الشد الدينامي وكفاءة الشد، حيث تأخذ نسبة الشد الدينامي الصيغة العامة لمعادلات Wismer and Luth (1974) لتقدير الشد.

$$DTR = A(1 - e^{Bs}) + C \quad (2)$$

حيث:

A و B و C = ثوابت الانحدار غير الخطى.

ويعبر عن كفاءة الشد بالصيغة التالية:

$$TE = (1 - s) \left[1 - \frac{D}{1 - e^{Bs}} \right] \quad (3)$$

حيث:

D و E = ثوابت الانحدار غير الخطى.

استخدم معامل الارتباط لتوضيح قوة التموج المستخدم، وكذلك متوسط مربع الانحرافات بين القيم الفعلية والقيم المقدرة لكل من نسبة الشد الدينامي وكفاءة الشد. وتم رسم العلاقات البيانية التي توضح علاقة كل من نسبة الشد الدينامي وكفاءة الشد بالانزلاق عند الضغوط المختلفة.

النتائج والمناقشة

يوضح الجدولان رقمـا (٢) و (٣) الثوابت لمعادلة تقدير نسبة الشد الدينامي، المعادلة رقمـ (٢)، ومعادلة تقدير كفاءة الشد، المعادلة رقمـ (٣)، لـ الحالـة الثالثـ من الضغوطـ، حيث تم بـيـاجـادـهـ بـتـطـيلـ الانـحدـارـ غـيرـ الخـطـيـ. وـتـشـيرـ قـيمـ مـتوـسطـ مـرـبـعـ الـانـحرـافـاتـ وـمـعـاملـ الـارـتـباطـ إـلـىـ التـوـافـقـ بـيـنـ مـعـادـلاتـ نـسـبةـ الشـدـ دـيـنـامـيـ وـبـيـانـاتـ أـكـثـرـ مـنـ لـكـفـاءـةـ الشـدـ، وـيـعـتـبرـ ذـلـكـ ظـاهـرـةـ اـعـتـيـادـيـ سـبـقـ وـأـنـ وـاجـهـهاـ باـحـثـينـ آخـرـينـ (Bashford et al., 1992).

الجدول رقمـ (٢): قـيمـ الثـوابـتـ لـمعـادـلةـ نـسـبةـ الشـدـ دـيـنـامـيـ.

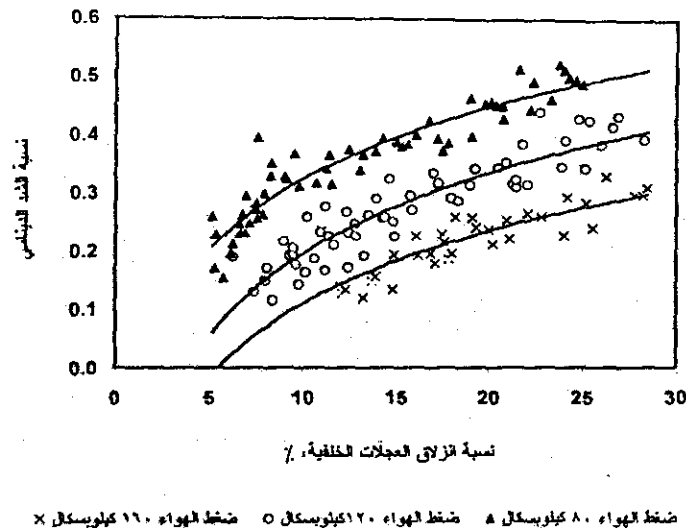
معامل الارتباط	متوسط مربع الانحرافات	ضغط الهواء			(كيلوبسكال)
		C	B	A	
٠,٠٠٠٨	٠,٩٢١	٠,٠٤-	٢,٥٣-	٠,٦٨	١٦٠
٠,٠٠١١	٠,٩٣٦	٠,٠٨-	٥,٧٩-	٠,٧١	١٢٠
٠,٠٠٠٨	٠,٩٥٦	٠,٠٣	٧,٥٥-	٠,٥٤	٨٠

الجدول رقمـ (٣): قـيمـ الثـوابـتـ لـمعـادـلةـ كـفـاءـةـ الشـدـ.

معامل الارتباط	متوسط مربع الانحرافات	ضغط الهواء			(كيلوبسكال)
		E	D	C	
٠,٠٠٣٣	٠,٨٦٦	١٢,٢٨-	٠,٣٣	٨٠	
٠,٠٠١٤	٠,٨١٦	١٢,٣٨-	٠,٤٦	١٢٠	
٠,٠٠١٠	٠,٧٤٥	١٦,٥٥-	٠,٦٧	١٦٠	

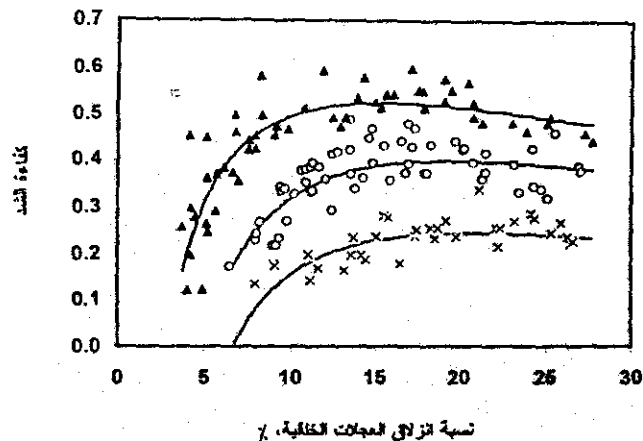
ويوضح الشـكـلـ رقمـ (١)ـ العـلـاقـةـ بـيـنـ نـسـبةـ الشـدـ دـيـنـامـيـ وـنـسـبةـ اـنـزـلـاقـ العـجـلـاتـ الـخـلـفـيـةـ لـلـجـرـارـ ذـوـ الدـفـعـ الـأـمـامـيـ الـمـسـاعـدـ عـنـ تـشـغـيلـ بـنـظـامـ ثـنـائـيـ الدـفعـ عـلـىـ تـرـبـةـ رـمـلـيـ طـمـيـةـ مـحـرـونـهـ وـذـلـكـ عـنـ ثـلـاثـ ضـغـطـ هـوـاءـ مـخـلـفـةـ دـالـخـلـ الإـطـارـاتـ الـخـلـفـيـةـ. وـيـلـاحـظـ أـنـ نـسـبةـ الشـدـ دـيـنـامـيـ تـزـدـادـ بـانـخـافـضـ ضـغـطـ هـوـاءـ فـيـ الإـطـارـاتـ، وـذـلـكـ ضـمـنـ مـدـىـ الـأـنـزـلـاقـ الـمـعـدـ لـلـتـشـغـيلـ، فـعـنـ نـسـبةـ اـنـزـلـاقـ اـعـتـيـادـيـ لـلـعـجـلـاتـ الـخـلـفـيـةـ عـلـىـ تـرـبـةـ الرـمـلـيـ طـمـيـةـ قـدرـهـاـ ٢٠٪ـ زـادـتـ نـسـبةـ الشـدـ دـيـنـامـيـ مـنـ ٠,٥٦ـ إـلـىـ ٠,٦٢ـ بـانـخـافـضـ ضـغـطـ هـوـاءـ مـنـ ١٦٠ـ إـلـىـ ٨٠ـ كـيلـوبـسـكـالـ. وـيـلـاحـظـ أـيـضاـ أـنـ اـنـزـلـاقـ العـجـلـاتـ الـخـلـفـيـةـ يـقـلـ بـانـخـافـضـ الضـغـطـ، وـيـرـجـعـ ذـلـكـ إـلـىـ زـيـادـةـ مـسـاحـةـ التـلـامـسـ لـلـإـطـارـاتـ الـخـلـفـيـةـ عـنـ اـنـخـافـضـ الضـغـطـ مـاـ يـقـلـ مـنـ مـقاـومـةـ الدـورـانـ وـالـتـيـ بـدـورـهـ تـؤـثـرـ فـيـ مـقـدـارـ الشـدـ عـلـىـ قـصـيبـ الشـدـ. وـيـوضـعـ تـبـاعـدـ مـاـ يـقـلـ

نسبة الشد الدينامي للضغط المختلفة وعدم تناطعهم عند نسب انزلاق العجلات الخلفية في المدى المحدد للتشغيل أن هناك فرق في أداء الجرار من حيث نسبة الشد الدينامي عند الضغوط المختلفة.



الشكل رقم (١): العلاقة بين نسبة الشد الدينامي ونسبة انزلاق العجلات الخلفية عند ثلاثة ضغوط هواء مختلفة داخل الإطارات الخلفية.

ويوضح الشكل رقم (٢) العلاقة بين كفاءة الشد ونسبة انزلاق العجلات الخلفية، وذلك عند ثلاثة ضغوط هواء مختلفة داخل الإطارات الخلفية. ويلاحظ أن كفاءة الشد تزداد بانخفاض ضغط الهواء في الإطارات، وذلك ضمن مدى الانزلاق المحدد للتشغيل، فازدادت كفاءة الشد من ٢٤,٤ إلى ٣٠,٥٪ بانخفاض ضغط الهواء من ١٦٠ إلى ٨٠ كيلوباسكال عند نفس نسبة الانزلاق ٢٠٪. ويوضح تباعد منحنيات كفاءة الشد للضغط المختلفة وعدم تناطعهم ضمن مدى نسبة انزلاق العجلات الخلفية أن هناك فرق في أداء الجرار من حيث كفاءة الشد عند الضغوط المختلفة. وتصل أقصى كفاءة شد إلى ٣٠٪ و ٢٤٪ و ٢٠٪ عند الضغوط ١٦٠ و ١٢٠ و ٨٠ كيلوباسكال على الترتيب، حيث أن نسبة الانزلاق التي يتحقق عندها أقصى كفاءة شد تساوي ٢٠,٥٪ و ١٩,٥٪ و ١٥,٥٪ للحالات الثلاث من الضغوط.



ضغط الهواء ٨٠ كيلوباسكال ▲ ضغط الهواء ١١٠ كيلوباسكال ○ ضغط الهواء ١٤٠ كيلوباسكال ✕

الشكل رقم (٢): العلاقة بين كفاءة الشد ونسبة اتزلاق العجلات الخلفية عند ثلاثة ضغوط هواء مختلفة داخل الإطارات الخلفية.

تتفق نتائج هذا البحث مع الدراسات السابقة من حيث تحسين أداء الجرار بخفض مستوى الضغط داخل الإطارات الخلفية، ويلاحظ بصورة عامة أن أداء الجرار منخفض بالمقارنة مع أداء الجرار في الدراسات السابقة، وذلك لاختلاف نوع التربة. ويظهر جلياً تأثير ضغط الهواء داخل الإطارات الخلفية في أداء الجرار على التربة الرملية الطميية المحرونة، حيث أن مقدار الزيادة في نسبة الشد الديسامي وكفاءة الشد كبيراً عند نسب اتزلاق العجلات الخلفية في المدى المحدد للتشغيل، الشكلان رقمـا (١) و (٢)، ويوضح ذلك مدى أهمية اختيار ضغط الهواء داخل الإطارات عند التشغيل على الترب الرملية الطميـة.

الخلاصة

بصورة عامة نجد أنه بتناهيل ضغط الهواء في الإطارات الخلفية لجرار ذو دفع أمامي مساعد عدد العمل كثائي الدفع يتحسن أداء الجرار وذلك عندما يعمل على تربة رملية طميـة محرونة ضمن مدى اتزلاق العجلات الخلفية من ٥ إلى ٢٨ %. حيث ازدادت كفاءة الشد من ٢٤,٤ إلى ٥١,٥ %. عند نسبة اتزلاق للعجلات الخلفية قدرها ٢٠ %. وذلك بانخفاض ضغط الهواء في الإطارات من ١٦٠ إلى ٨٠ كيلوباسكال، كما أن نسبة الشد

الدينامي قد زادت من ٢٣٪ إلى ٥٦٪ عند نفس نسبة الإنزال بانخفاض ضغط الهواء



شكر وتقدير: يتقدم الباحثون بالشكر إلى المهندسين يوسف ناصر المجددي وأحمد إبراهيم المبرد لما قاما به من جهد في تنفيذ التجارب الحقلية وتجميع البيانات.

المراجع

- Al-Janobi, A.** (1997). Field comparison of tractive performance of an FWA tractor on sandy loam soil. *Misr J. Agric. Eng.*, Vol. 14, No. 1: 27-32.
- Al-Janobi, A., S. Al-Suhaibani, A. Bedri and A. S. Babeir** (1997). A Precision Wheel Torque and Weight Transducer for the Most Common Agricultural Tractors. *AMA*, Vol.28, No. 1:13-17,22.
- Al-Suhaibani, S.A.; Bedri, A.A.; Babeir, A.S. and Kilgour, J.** (1994). A mobile instrumentation package for monitoring tractor performance. *Agric. Res. Bulletin* No.40, King Saud Univ., Riyadh, Saudi Arabia, 26p.
- ASAE Standards** (2000). ASAE S430.1 Agricultural Equipment Tire Loading and Inflation Pressures. ASAE, St. Joseph, MI:49085.
- Bashford, L.L., S. Al-Hamed, C. Jenane** (1992). Effects of tire size and pressure on tractive performance. ASAE Paper No. 92-1011, ASAE, St. Joseph, MI: 49085.
- Burt, E.C. and A.C. Bailey** (1981). Interaction of dynamic load and inflation pressure on tire performance. ASAE Paper No. 81-1537, ASAE, St. Joseph, MI: 49085.
- Burt, E.C.; P.W.L. Lyne; P. Meiring and J.F. Keen** (1982). Ballast and inflation pressure effects on tractive efficiency. ASAE Paper No 82-1567, ASAE, St. Joseph, MI: 49085.
- Charles, S.M.** (1983). Load and pressure effects on radial tire traction performance. ASAE Paper No. 83-1557, ASAE, St. Joseph, MI: 49085.
- Grasso, R.D., R.K. Taylor, T.R. Way and L.L. Bashford** (1991). Tractive performance of 18.4R46 and 18.4R42 radial tractor tires. ASAE Paper No. 91-1589, ASAE, St. Joseph, MI: 49085.
- Lyne, P.W.L., E.C. Burt and P. Meiring** (1984). Effect of tire and engine parameters on efficiency. *Transactions of the ASAE* 27(1):5-7,11
- SAE Standards** (1991). SAE J711. Tire selection tables for agricultural tractors of future design. SAE, Warrendale, PA 15096.

SAS User's Guide (1986). Statistical Analysis System. SAS Ins. Inc., SAS Circle, P.O. Box 8000, Cary, N.C.

The Tire and Rim Association (1988). Year Book. The Tire and Rim Association, Inc. Akron, Ohio 44313.

Wismar, R.D. and H.J. Luth (1974). Off-road traction prediction for wheeled vehicles. Transactions of the ASAE 17(1):8-10.

البلدي، منصور (١٤١٨هـ). تطوير وحدة معالجة بيانات لمراقبة أداء الجرار. رسالة ماجستير، قسم الهندسة الزراعية، كلية الزراعة، جامعة الملك سعود بالرياض، المملكة العربية السعودية.

وزارة الزراعة والمياه، (١٤٠٥هـ). التغريدة العامة للترب في المملكة العربية السعودية. إدارة تنظيم الأراضي، وزارة الزراعة والمياه، الرياض.

Effect of Rear Tire Inflation Pressure on Front Wheel Assist Tractor Performance

Saad A. Al-Hamed* Abdulwahed M. Aboukarima**

Mohammed H. A. Kabeel***

Abstract

The effect of rear tire inflation pressure on the performance of a front wheel assist (FWA) tractor equipped with 18.4R38 radial tires and operating on sandy loam soil was studied. The tractor was instrumented to measure performance parameters such as drawbar pull, dynamic rear wheel load, forward speed, rear wheel speed, and the torque on the rear axle.

The tests were conducted for the tractor when operating in two-wheel drive mode (2WD) at three rear tire inflation pressures (80, 120, and 160 kPa). In general, lower rear tire inflation pressure increased tractive performance.

Nonlinear Regression coefficients were obtained for the dynamic traction ratio and the tractive efficiency of the FWA tractor in 2WD mode. The determination coefficients and mean squared errors showed that there are highly correlation between field and predicted data at rear wheel slip ranged from 5 to 28 %.

* Ass. Prof., Agric. Eng. Dept., College of Agriculture, King Saud University, P.O. Box 2460, Riyadh 11451, Saudi Arabia.

** Ass. Res., Agric. Res. Center, Agric. Eng. Res. Inst., Tractor & Farm Machinery Testing Station, Sabahya, Alexandria.

*** Res., Agric. Res. Center, Agric. Eng. Res. Inst., Tractor & Farm Machinery Testing Station, Sabahya, Alexandria.